

III-111 BartonのQ値と日本での岩盤分類および弾性波速度との関係

京都大学工学部 正員。谷本 親伯
関西電力株式会社 山本 純也
関電興業株式会社 森 茂昭

1. まえがき

延長1.8kmの放水路計画に関連して、各國で注目されていのBartonのQ値による分類について、電力中央研究所による分類や弾性波速度などのように対応するかを、原位置でのジョイント調査・弾性波探査・平板載荷試験と室内での高压岩石三軸試験の結果を基に検討した。主な地質は、電研式分類では $C_H \sim D$ 級に属する閃綠岩・花崗岩・石炭岩である。

2. NATMにおけるBartonのQ値分類

Bartonらは、200tPfの地下における工事経験の分析より、次のように6個の因子を用いた不連続岩盤内のトンネルの安定度を示すQ値を提案した。^{1), 2)}

$$Q = \frac{RQD}{J_n} \cdot \frac{J_r}{J_a} \cdot \frac{J_w}{SRF} \quad (1)$$

ここに、 J_n ：不連続面の数、 J_r ：不連続面の粗さ、 J_a ：充填物・き裂面壁の状態、 J_w ：不連続面の水の状態および SRF ：不連続面の応力減少状態、を表わす因子である。また、各因子の組合せは、力学的性質と関連があり、(RQD/J_n)はトンネル空間

との相対的なブロックの寸法、(J_r/J_a)は不連続面でのせん断強度に関連し摩擦係数($\tan\phi$)に相当する。また、(J_w/ SRF)は握剤による応力変化に対応する。このQ値と支保工の規模との関係も考察されてい。³⁾

NATMを適用する場合のQ値分類の役割は、図-1に示すように、設計時の岩盤分類と施工時の岩盤評価に利用し、不連続岩盤の挙動を把握する因子とみなしている。

3. Q値と電研式分類

調査対象地更是、調査用横坑と近接する既設トンネル内で、1m区間毎にQ値を算定し、その区間の岩盤等級との関連性を考察した。図-2は、千地更の1m区間毎のQ値と電研式岩盤等級の関係を示したものである。Q値と岩盤等級との間には、比較的良好な相関性が認められる。岩盤等級 C_H に対し $Q = 0.1 \sim 2.0$ 、 C_L には $Q = 0.008 \sim 0.9$ 、そして D 級には $Q = 0.008 \sim 0.035$ の範囲が対応する。10m区間を全般的に評価した場合、 C_m と C_H 級の境界のQ値は0.1であるが、1m区間での評価では概ね1.0

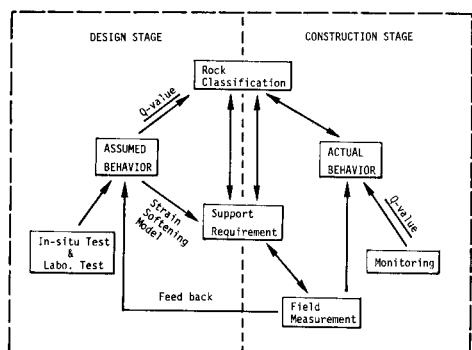


Fig. 1 Significance of Q-System

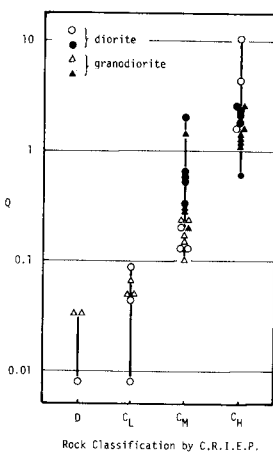


Fig. 2 Q - CRIEP Classification

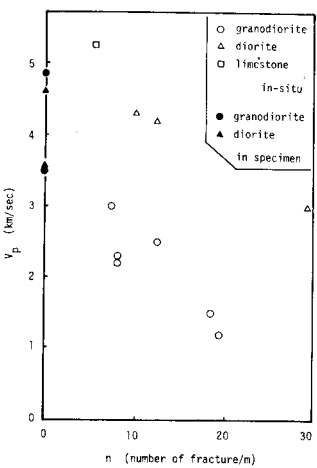


Fig. 3 V_p - n Relation

である。これは、岩盤を評価する場合、その評価区间が長いと、その間に存在する断層や破碎帶などの低いQ値がその評価区間のQ値として取扱われることに起因し、区間を短くした方が適切な支保を設定できる。しかし、施工管理を目的として1m区間毎にQ値を算定することは実際には困難であろう。そこで、断層・湧水等の岩盤の悪い部分については、評価頻度を多くし、地盤がほぼ一定の場合は、比較的長い区間で評価してよいと考えられる。

4. Q値と弹性波速度

図-3は、岩盤のP波速度(V_p)とき裂頻度(n)との関係を示したもので、 n は1mあたりのき裂本数で定義される。全体としては、ばらつきがあるが、岩種別ではかなり明瞭な相関性がある。肉眼者と花崗岩肉眼者を比較した場合、 n の増加に伴う V_p の減少率は後者の方が大きい。

図-4は、 V_p とQ値の関係を示したもので、Q値は10m区間で算定した。岩種れかわらず全体として良好な相関性が認められ、その関係は次式で示される。

$$Q = 10^{(0.55V_p - 2.0)} \quad (2)$$

ただし、 V_p の単位は[km/sec]で、
 $1.2 \leq V_p \leq 5.3 \text{ km/sec}$ 。

5. 各評価の比較

V_p 、Q値、Q値による岩盤分類、ジョイントの状態、風化の程度、今回行った1m毎の岩盤区分(修正電研区分)、電研式分類を比較してみると表-1を得る。Q値に基づくBartonの岩盤区分と電研式とはかなり相異すが、修正電研区分は両者の中间的な区分となる。全般に、Q値による支保工の規模の評価は、従来の評価に比べ、かなり厳しい条件を相当するものとなり、我国の地質状況を対象とするQ値の算定方法を検討する必要があると考えられる。

6. 支保の検討

筆者らは、支保効果をトンネル壁面に作用する等価な内圧換算して、合理的な支保の設計を目的とする提案をしていく。⁴⁾ そこで、原位置試験と室内試験の結果に基き、諸定数を求め、ひずみ軟化モデルによる

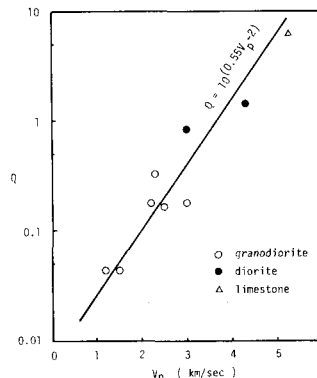


Fig. 4 Q - V_p Relation

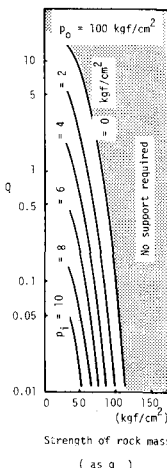


Fig. 5 Support requirement equivalent to p_i

Table 1 Relations among various evaluations

V_p (km/sec)	1	2	3	4	5	6
Q	0.01	0.1	1	10		
Evaluation by Q	extremely poor	very poor	poor	fair	good	
Rock wall contact	fault, heavily fractured	separate	fairly separate, loose	contacted, altered joint		
Weathering	crushed, sandy	fissured	heavy - fair	slight		
Modified CRIEP Classification	D	C_L	C_M	C_H		
CRIEP Classification	D	C_L	C_M	C_H	B	A

Note) CRIEP: Central Research Institute for Electric Power

所要内圧(p_i)とQ値および原位置岩盤の一軸圧縮強度(q_u 相当する量)との関係を算定した。図-5は被り300~400 m(初期応力 $p_0 = 100 \text{ kgf/cm}^2$)を想定した場合の結果を示す。

参考文献

- 1) Barton, N. et al : Rock Mech., Vol. 6, No. 4, 1974, pp. 189-236.
- 2) Barton, N. : Proc. Symp. Exploration for Rock Eng., Johannesburg, 1976, pp. 107-117.
- 3) Barton, N. : Proc. 16th Symp. Rock Mech., Minnesota, 1975, pp. 163-177.
- 4) 吉本聰治：土木学会論文報告集、NO. 325, 1982.